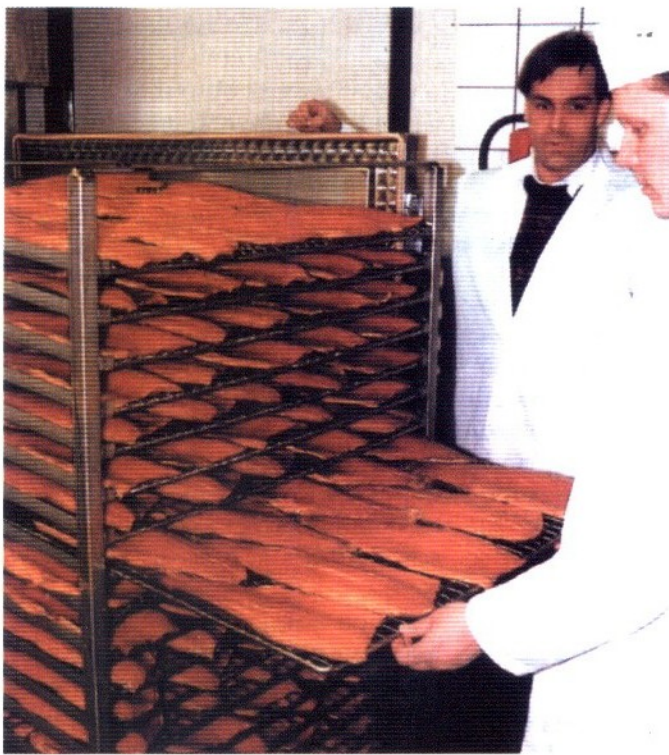


ВЫБОР ОПТИМАЛЬНЫХ ТЕХНОЛОГИЧЕСКИХ РЕЖИМОВ ХОЛОДНОГО КОПЧЕНИЯ РЫБЫ

Ю.А. Дмитриев, А.Н. Остриков, А.А. Шевцов – Воронежская государственная технологическая академия



Основные стадии технологического процесса холодного копчения рыбы, оказывающие существенное влияние на величину энергозатрат, – размораживание, посол, отмачивание или промывка, подсушка и копчение. Однако только две последние ввиду своей энергоемкости в значительной степени определяют себестоимость готовой продукции. Основные технологические параметры теплоносителя (нагретого воздуха) и коптильного дыма, определяющие эффективность и интенсивность протекания процессов подсушки и копчения, зависят от размеров, исходного состояния, жирности и видов рыбной продукции и др. (Никитин, 1982). При этом эти параметры, как правило, увязаны с конструкцией коптильной установки (Шалак, Шашков, Сидоренко, 1998).

Нами разработана универсальная методология выбора оптимальных технологических режимов процессов подсушки и собственно холодного копчения рыбы. В связи с этим ставится задача определения оптимальной скорости движения воздуха и коптильного дыма на входе в рабочую камеру с учетом ограничений, накладываемых на качество обрабатываемой рыбы, в широком диапазоне изменения ее начальной влажности. Для этого введем обобщенный критерий оптимизации

$$R = R_c + R_k \quad (1)$$

где R_c и R_k – критерии оптимизации процесса подсушки и копчения рыбы соответственно.

В качестве критерия оптимизации процесса подсушки предлагаются использовать суммарные теплозатраты, приходящиеся на единицу массы испаряемой влаги:

$$R_c = \Sigma U = (\underline{C}_3 N_3 + \underline{C}_t q_t) / U \rightarrow \min, \quad (2)$$

где \underline{C}_3 – цена электроэнергии, р/(кВт•ч); N_3 – потребляемая мощность электропровода вентилятора, кВт, затрачиваемая на создание полного напора воздуха p , Н/м²; \underline{C}_t – цена топлива, р/кг; q_t – расход топлива для получения воздуха, кг/ч; U – количество влаги, испаряемой в единицу времени, кг/ч.

Покажем, что оперативное изменение скорости движения воздуха в условиях реальных возмущений позволит обеспечить экстремум критерия (2). Для этого выразим критерий (2) через скорость движения воздуха на входе в сушильную камеру. Первое слагаемое в числителе (2) – затраты электроэнергии в единицу времени на создание массового потока сушильного агента

$$\underline{C}_3 N_3 = K_3 \underline{C}_3 p F v_{\text{св}}, \quad (3)$$

где K_3 – коэффициент перевода механической энергии потока воздуха в электрическую энергию электропривода вентилятора, кВт•ч/(Н•м); F – площадь сечения сушильной камеры, м²; v – скорость движения воздуха на входе в сушильную камеру, м/с.

Полный статический напор воздуха выразим следующим образом:

$$p = \Sigma \zeta (pv^2/2), \quad (4)$$

где $\Sigma \zeta$ – сумма коэффициентов местного сопротивления на всех участках сушильной установки.

Отсюда

$$\underline{C}_3 N_3 = K_3 \underline{C}_3 (\Sigma \zeta) (pv^2/2) F v = K_3 \underline{C}_3 (\Sigma \zeta) (pv^3/2) F. \quad (5)$$

Второе слагаемое в числителе критерия (2) – затраты топлива в единицу времени на создание теплового потока сушильного агента

$$\underline{C}_t q_t = (\underline{C}_t / Q_H^P) \bar{p} \bar{c} F (T_2 - T_1) v, \text{ р/с,} \quad (6)$$

где Q_H^P – теплота сгорания топлива, кД/кг; \bar{p} , \bar{c} – плотность (кг/м³), теплоемкость [кДж/(кг•К)]; T_1 , T_2 – температура воздуха на входе и выходе из камеры, К.

Знаменатель критерия – количество испаряемой влаги в единице времени, выразим следующим образом:

$$U = (x_2 - x_1) \rho_{\text{св}} F v, \quad (7)$$

где x_1 , x_2 – влагосодержание воздуха на входе и выходе из камеры соответственно, кг/кг; $\rho_{\text{св}}$ – плотность абсолютно сухого воздуха, кг/м³.

С достаточной степенью точности выразим знаменатель критерия (2) через скорость движения воздуха в виде уравнения линейной регрессии, которое для различных значений начальной влажности рыбы W_n имеет вид

$$(x_2 - x_1) = A_3 (Bv + 1), \quad (8)$$

где A_3 и B – эмпирические коэффициенты являются функцией начальной влажности и определяются экспериментально: $A_3 = f(W_n)$, $B = f(W_n)$, $i = 1, N$ – количество средних значений начальной влажности W_n из выборок рыбной продукции разных партий.

В таблице приведены результаты экспериментального исследования зависимости разности влагосодержаний скорости подсушки воздухом от фиксированных значений начальной влажности скумбрии 67, 70 и 73 %, а скорость воздуха варьировалась в интервале 2–4 м/с. Опыты проводили в зимних условиях Воронежской

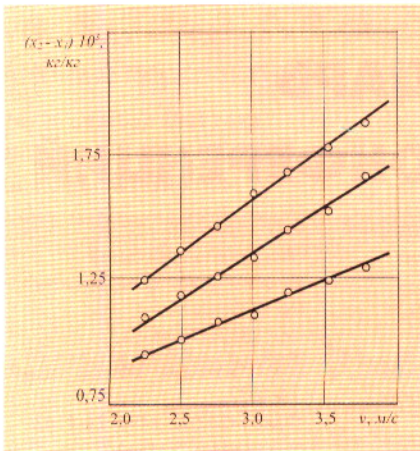


Рис. 1. Зависимость разности влагосодержания воздуха на входе и выходе из камеры от его скорости:

1 - $\forall W = 67\% \in (x_2 - x_1) = 0,4 \cdot 10^3 (0,60v + 1)$;

2 - $\forall W = 70\% \in (x_2 - x_1) = 0,4 \cdot 10^3 (0,80v + 1)$;

3 - $\forall W = 73\% \in (x_2 - x_1) = 0,4 \cdot 10^3 (0,97v + 1)$

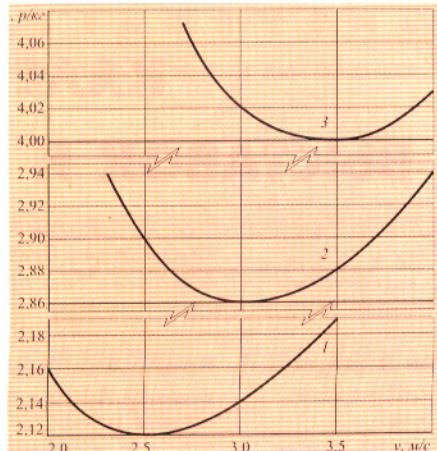


Рис. 2. Зависимость суммарных теплоэнергетических затрат, приходящихся на единицу испаряемой влаги, от скорости воздуха при различных значениях начальной влажности скумбрии W_h : 1 - 67; 2 - 70; 3 - 73

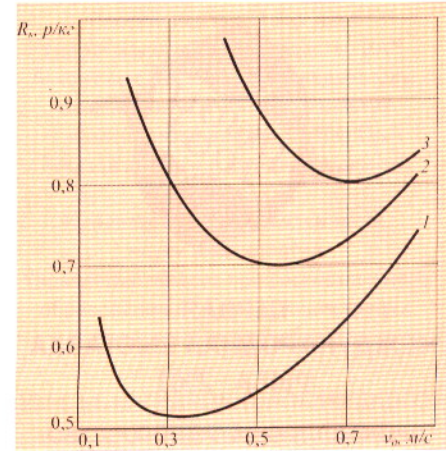


Рис. 3. Зависимость суммарных теплоэнергетических затрат, приходящихся на единицу испаряемой влаги, от скорости коптильного дыма при различных значениях начальной влажности скумбрии W_h : 1 - 63; 2 - 65; 3 - 68

Номер опыта	Начальная влажность скумбрии, W_h , %	Скорость воздуха на выходе из сушильной камеры, v , м/с	Относительная влажность отработанного воздуха, φ , %	$x_2 \cdot 10^3$, кг/кг	$(x_2 - x_1) \cdot 10^3$, кг/кг	T_2 , К	$R_c = f(v)$	$v^*, \text{м}/\text{с}$	R_{\min}^* , $\text{р}/\text{кг}$
1		2,5	81,8	41,20	0,96	310,7			
2	67	3,0	81,6	41,32	1,12	310,9	$R_{c1}=0,1(15+v^2)/0,4(0,60v+1)$	0,25	2,12
3		3,5	81,0	41,44	1,24	311,1			
4		2,5 -	86,6	41,38	1,18	310,6			
5	70	3,0	86,7	41,54	1,34	310,8	$R_{c2}=0,15(17+v^2)/0,4(0,8v+1)$	0,30	2,86
6		3,5	82,1	41,72	1,52	311,1			
7		2,5	82,4	41,56	1,36	310,6			
8	73	3,0	82,2	41,74	1,54	310,9	$R_{c3}=0,225(19+v^2)/0,4(0,97v+1)$	0,35	4,00
9		3,5	81,9	41,96	1,76	311,2			

области. Входные параметры свежего воздуха, подаваемого в калорифер, были усреднены и зафиксированы: $T_b = 273$ К, $x_o = 0,042$ кг/кг. Влагосодержание воздуха x_2 на выходе из камеры определили по значениям температуры и относительной влажности в соответствии с I-d диаграммой: $T_{\text{раб}} = 312$ К, $t_{\text{раб}} = 39$ °С, $d_1 = 17,8$ г/кг.

По результатам экспериментальных исследований найдены параметры линейной регрессии (8) (рис. 1).

Подставляя (5), (6), (7) в (2) с учетом (4) и (8), получим:

$$R = (A_1 Fv^2 + A_2 Fv) / A_3 (Bv + 1) Fv = (A_2 v^2 + A_2) / A_3 (Bv + 1) = \\ = A_1 (v^2 + A_2 / A_1) / A_3 B (v + 1 / B), \quad (9)$$

$$\text{где } K_3 C_3 (\Sigma \zeta) p / 2 = A_1, (\Pi_T / Q^p_H) p_{ca} c_{ca} T_{ca} = A_2. \quad (10)$$

Для оптимального выбора скорости движения воздуха, соответствующей минимальному значению суммарных теплоэнергетических затрат, приходящихся на единицу испаряемой влаги при ограничениях на качественные показатели рыбы, необходимо выполнение двух условий: $(dR/dv) = 0$ и $(d^2R/dv^2) > 0$.

Таким образом, были получены экстремальные характеристики процесса подсушки скумбрии (рис. 2) соответственно для различных значений начальной влажности $W_{h1} = 67\%$; $W_{h2} = 70\%$; $W_{h3} = 73\%$. Из графических зависимостей $R = f(v)$ следует, что отклонение от оптимума v^* , равного 2,5 м/с, 3 м/с, 3,5 м/с соответственно для значений начальной влажности скумбрии 67%, 70%, 73%, ведет к теплоэнергетическим потерям и перерасходу электроэнергии.

В качестве критерия оптимизации процесса копчения предлагаются использовать суммарные теплоэнергетические затраты, приходящиеся на единицу изменения концентрации коптильного дыма в рабочей камере:

$$R_k = \Sigma 3 / 0,01 \Delta M C = (\Pi_N N_3 + \Pi_q q_o) / 0,01 (M_h - M_k) (C_h - C_k) \rightarrow \min, \quad (11)$$

где Π_o - цена древесных опилок $\text{р}/\text{кг}$; q_o - расход древесных опилок для получения коптильного дыма, $\text{кг}/\text{ч}$; $\Delta M = M_h - M_k$ - изменение массы рыбы в процессе холодного копчения в единицу времени, $\text{кг}/\text{ч}$; $\Delta C = C_h - C_k$ - изменение концентрации коптильного дыма, получаемого в единицу времени, $\%/\text{ч}$.

Затем по аналогии с вышеприведенной методикой обоснования выбора критерии оптимизации процесса подсушки [формулы (2) - (8)] легко доказать, что изменение скорости коптильного дыма в условиях реальных возмущений позволит обеспечить экстремум критерия (11).

Таким образом, были получены суммарные экстремальные характеристики процесса копчения скумбрии $R = f(v)$ (рис. 3) для различных значений начальной влажности. Их анализ показывает, что отклонение от оптимума v^* , равного 0,31, 0,52, 0,70 м/с для значений влажности подсушенной скумбрии 63%, 65%, 68% соответственно, ведет к теплоэнергетическим потерям и перерасходу электроэнергии.

Годовой экономический эффект от реализации разработанной универсальной методологии выбора оптимальных технологических режимов процессов подсушки и холодного копчения скумбрии составляет более 75 тыс. руб.

